

Возможность управления прецессией намагниченности в шунтированном Фи-0-переходе

О. А. Кибардина¹, Ю. М. Шукринов^{1,2,3}, И. Р. Рахмонов^{1,2,3}, С. А. Абдельмонейм⁴

¹Государственный университет Дубна, Дубна, Россия

²Объединенный институт ядерных исследований, Дубна, Россия

³Московский физико-технический институт, Долгопрудный, Россия

⁴Кафедра физики, факультет естественных наук, Университет Менофия, Шибин-эль-Ком, Египет

Управление магнитными свойствами Фи-0-перехода сегодня привлекает много внимания в связи с перспективами применения в сверхпроводниковой электронике и спинtronике. Нами исследована динамика Фи-0 джозефсоновского перехода, шунтированного LC-элементами. Показана возможность управления магнитной прецессией, в частности, продемонстрировано увеличение амплитуды магнитной прецессии в области параллельного резонанса. Показано, что этот эффект усиливается с увеличением параметров Фи-0-перехода, таких как спин-орбитальное взаимодействие, отношение джозефсоновской энергии к магнитной энергии и величина гильбертовского затухания.

Введение

Аномальный эффект Джозефсона, заключающийся в возникновении фазового сдвига в ток-фазовом соотношении джозефсоновских переходов (ДП) с ферромагнитными слоями (F-слой), привлекает внимание как теоретиков, так и экспериментаторов в связи с возможностью управления намагниченностью посредством сверхпроводящего тока [1, 2]. Такие ДП называют Фи-0-переходами, и они являются перспективными для задач сверхпроводниковой электроники и спинtronики. При этом фазовый сдвиг обусловлен взаимодействием сверхпроводящего тока с намагниченностью ферромагнетика и пропорционален величине спин-орбитальной связи в нецентросимметричных материалах с нарушенной симметрией относитель-

но обращения времени.

В настоящей работе нами рассмотрен способ управления намагниченностью с помощью шунтирования LC-элементами, который является одним из наиболее эффективных методов воздействия на резонансные свойства джозефсоновских структур, приводящих к появлению в системе дополнительных резонансов.

Теоретическая модель

Сверхпроводящая разность фаз φ и вектор намагниченности \mathbf{M} F-слоя являются двумя связанными динамическими переменными в ДП с тонким F-слоем. Динамика вектора намагниченности описывается уравнением Ландау – Лищца – Гильберта [1]:

$$\frac{d\mathbf{M}}{dt} = -\gamma[\mathbf{M} \times \mathbf{H}_{\text{eff}}] + \frac{\alpha}{M_0} \left[\mathbf{M} \times \frac{d\mathbf{M}}{dt} \right], \quad (1)$$

где \mathbf{M} – вектор намагниченности, γ – гиромагнитное отношение, α – гильбертовское затухание, M_0 – намагниченность насыщения. Здесь \mathbf{H}_{eff} обозначает векторы эффективного магнитного поля, которое определяется выражением

$$\mathbf{H}_{\text{eff}} = \frac{K}{M_0} \left[Gr \sin \left(\varphi - r \frac{M_y}{M_0} \right) \hat{\mathbf{y}} + \frac{M_z}{M_0} \hat{\mathbf{z}} \right],$$

где K – постоянная анизотропии, G – отношение джозефсоновской энергии к магнитной, r – параметр спин-орбитального взаимодействия.

Динамика джозефсоновской разности фаз описывается в рамках резистивной модели с учетом шунтирующих LC-элементов. В свою очередь, динамика образованного LC-контура описывается уравнением второго порядка для напряжения на шунтирующей емкости u_c [3].

Учитывая вышесказанное, можно написать следующую замкнутую систему уравнений для описания динамики Фи-0-перехода, шунтированного LC-контуром в нормированных величинах:

$$\begin{aligned} \frac{dm_x}{dt} &= \frac{\omega_F}{1 + \alpha^2 m_z^2} \{ -m_y m_z + Gr m_z \sin(\varphi - rm_y) - \\ &\quad - \alpha[m_x m_z^2 + Gr m_x m_y \sin(\varphi - rm_y)] \}, \\ \frac{dm_y}{dt} &= \frac{\omega_F}{1 + \alpha^2 m_z^2} \{ m_x m_z - \\ &\quad - \alpha[m_y m_z^2 - Gr(m_z^2 + m_x^2) \sin(\varphi - rm_y)] \}, \\ \frac{dm_z}{dt} &= \frac{\omega_F}{1 + \alpha^2 m_z^2} \{ -Gr m_x \sin(\varphi - rm_y) - \\ &\quad - \alpha[Gr m_y m_z \sin(\varphi - rm_y) - m_z(m_x^2 + m_y^2)] \}, \\ \frac{dV}{dt} &= I + \beta \left(\frac{d\varphi}{dt} - r \frac{dm_y}{dt} \right) - \sin(\varphi - rm_y) - C \frac{du_c}{dt}, \\ \frac{d\varphi}{dt} &= V, \\ \frac{dU}{dt} &= \frac{1}{LC} (V - u_c), \\ \frac{du_c}{dt} &= U, \end{aligned}$$

где m_i – компоненты \mathbf{M} , нормированные на M_0 , ω_F – собственная частота ферромагнитного резонанса,

I – базовый ток, β – параметр диссипации ДП. В этой системе уравнений частота ДП ω_c время t на ω_c^{-1} , напряжение V и u_c на $V_c = h\omega_c/2e$, базовый ток на критический ток. ДП с LC-элементами образуют резонансный контур с собственной частотой $\omega_{rc} = \sqrt{(1 + C)/LC}$ [3].

Результаты

На рис. 1 представлена вольт-амперная характеристика (ВАХ), рассчитанная при значениях параметров модели $\alpha = 0,001$, $G = 0,05$, $r = 0,05$, $\omega_F = 3$ и

$\beta = 0.1$. Значения шунтирующей емкости и индуктивности равнялись $C = 12.5$ и $L = 0.12$, что соответствует собственной частоте $\omega_{rc} = 3$. В процессе вычисления ВАХ для получения резонансной ветви, направления тока менялось несколько раз (двухпетлевая ВАХ). Изменение тока на рисунке обозначено буквами 0ABOCDEFBO.

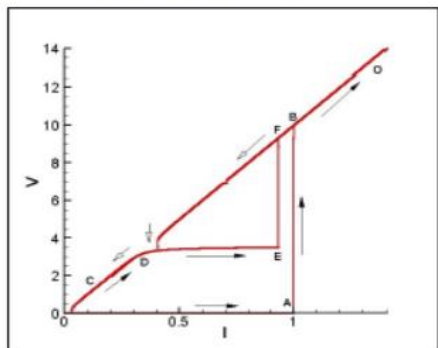


Рис. 1. ВАХ Фи-0-перехода, шунтированного LC-элементами при $C = 12.5$, $L = 0.12$, $\omega_{rc} = 3$

На рис. 2 представлены ВАХ и зависимость амплитуды компоненты намагниченности m_y от внешнего тока, рассчитанные для $\omega_F = 3$ и параметров шунтирования $L = 0.2$ и $C = 0.125$, которым соответствует частота $\omega_{rc} = 6.7$. В этом случае реализуемые резонансы практически не влияют друг на друга.

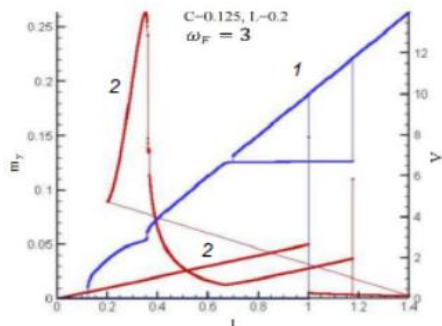


Рис. 2. ВАХ (1) и зависимость амплитуды m_y (2) от внешнего тока при $L = 0.2$, $C = 0.125$ ($\omega_{rc} = 6.7$) и $\omega_F = 3$

Как видно, в связи с реализацией ферромагнитного резонанса наблюдается рост амплитуды m_y и одновременно на ВАХ возникает резонансная ветвь, связанная с ферромагнитным резонансом при частоте $\omega_F = 3$. При частоте $\omega_{rc} = 6.7$ реализуется параллельный резонанс в резонансном контуре, что приводит к возникновению на ВАХ соответствующей резонансной ветви. Интересным фактом является то, что в области параллельного резонанса наблюдается рост амплитуды m_y . Это связано с тем, что в области параллельного резонанса возникает независящий от времени сверхпроводящий ток и он растет по мере роста амплитуды напряжения в резонансном контуре. Рост сверхпроводящего тока, в свою очередь, приводит к возникновению компоненты эффективного поля, и это эффективное поле является причиной наклона намагниченности к оси y . Таким образом, нами продемонстрировано, что с помощью резонанса в LC -контуре можно управлять намагниченностью ферромагнитного слоя.

дящего тока, в свою очередь, приводит к возникновению компоненты эффективного поля, которое определяет характер изменения намагниченности.

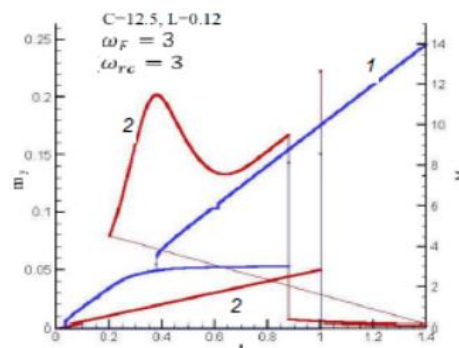


Рис. 3. ВАХ (1) и зависимость амплитуды m_y (2) от внешнего тока при $L = 0.12$, $C = 12.5$ ($\omega_{rc} = 3$) и $\omega_F = 3$

Данный эффект наблюдается, даже если частоты ω_{rc} и ω_F близки друг к другу. Например, на рис. 3 показаны ВАХ и зависимость амплитуды m_y от внешнего тока, рассчитанные при тех же значениях параметров модели $L = 0.12$, $C = 12.5$, которым соответствует частота $\omega_{rc} = 3$. Видно, что и в этом случае резонанс в колебательном контуре приводит к росту m_y . Отметим, что смещение пика ферромагнитного резонанса от резонанса в LC -контуре связано с наличием гильбертовского затухания, т. е.

из-за наличия затухания ФМР реализуется при частоте, меньшей $\omega_F = 3$.

Заключение

В заключении отметим, что нами показано влияние параллельного резонанса в резонансном контуре на динамику намагниченности в шунтированном Фи-0-переходе. Показано, что в результате реализации параллельного резонанса возникает независящий от времени сверхпроводящий ток и он растет по мере роста амплитуды напряжения в резонансном контуре. Рост сверхпроводящего тока, в свою очередь, приводит к возникновению компоненты эффективного поля, и это эффективное поле является причиной наклона намагниченности к оси y . Таким образом, нами продемонстрировано, что с помощью резонанса в LC -контуре можно управлять намагниченностью ферромагнитного слоя.

Полученные физические результаты поддержаны РНФ в рамках проекта № 22-42-04408. Численные расчеты проведены при финансовой поддержке РНФ в рамках проекта № 22-71-10022.

Литература

1. F. Konschelle, A. Buzdin // Physical Review Letters. 102, 017001 (2009).
2. Yu. M. Shukrinov, I. R. Rahmonov, and K. Sengupta // Physical Review. B. 99(22), 224513 (2019).
3. Yu. M. Shukrinov, I. R. Rahmonov, K. V. Kulikov, and P. Seidel // Europhysics Letters. 110, 47001 (2015).